

電磁加速プラズマ流の制御と マッハプローブの特性評価

東北大学 大学院工学研究科
戸張 博之

e-mail : tobari@ecei.tohoku.ac.jp

共同研究者: 渡辺 俊明, 渡辺 貴史, 安藤 晃, 服部 邦彦, 犬竹 正明

Keywords : **Plasma Flow**, Mach Probe, Plasma Acceleration,
Electric Propulsion, MPD Thruster



Outline

1. Introduction
2. Electric Propulsion
3. Mach Probe Experiment in the HITOP Device
4. Magnetic Nozzle Acceleration of MPDA Plasma
5. Summary



Introduction

プラズマの“流れ”と電磁場との相互作用

プラズマの閉じ込め改善

径電場とポロイダルフローシア



流れによる渦の分断



断熱層の形成

動圧を利用した高ベータ
プラズマ閉じ込め

Double-Beltrami流

電気推進機の開発

人工衛星の姿勢制御

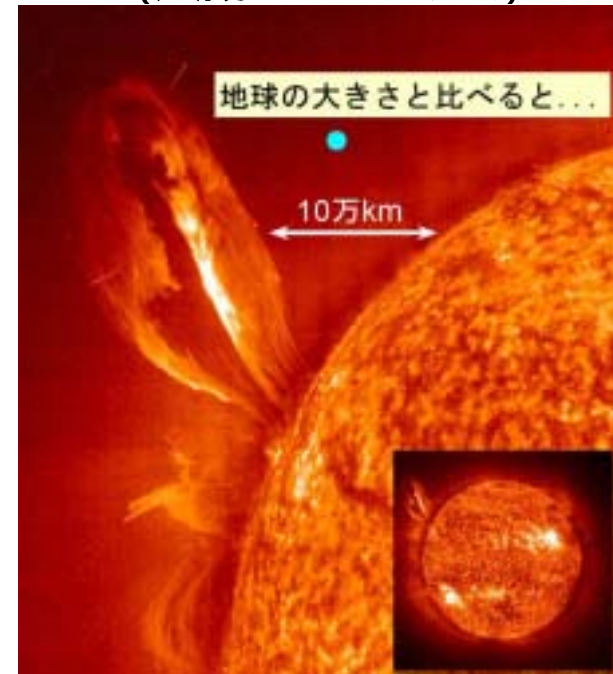


惑星間航行
有人火星探査
核融合プラズマ推進



天体プラズマの物理

宇宙ジェット
太陽フレア
(太陽のパラドクス)



Introduction to Electric Propulsion(EP)

Chemical Propulsion (CP)

- Large thrust density
to lift off the earth gravity
- Low I_{sp} (500sec)

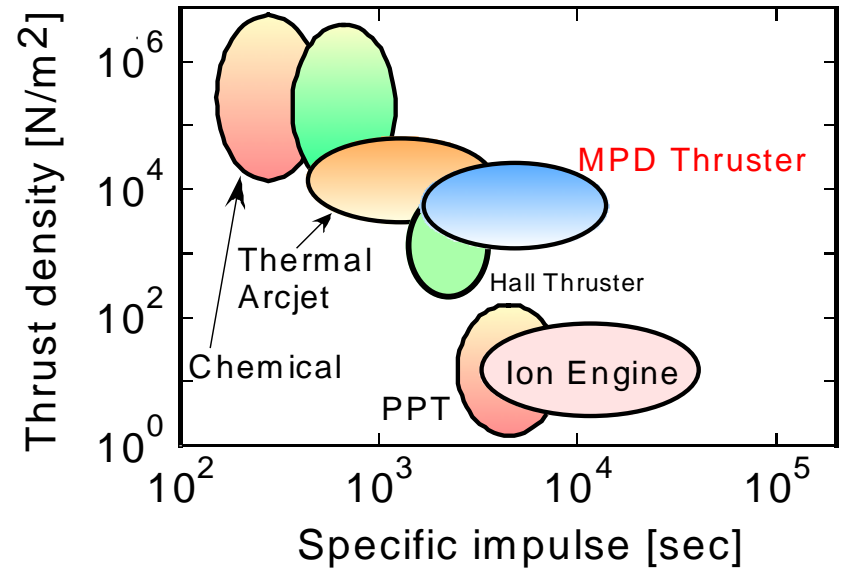
Electric Propulsion(EP)

- Ionization by electric power
- Power source: solar cell, nuclear reactor
- High I_{sp} (10^3 - 10^4 sec)
with small consumption of propellant
- Useful for interplanetary mission
long-term station-keeping
manned Mars mission

Parameters for Thrust Performance

Thrust : $F = \dot{m}U$

Specific Impulse : $I_{sp} = \frac{F}{\dot{m}g} = \frac{U}{g} [\text{sec}]$



Recent Achievement of EP in Japan

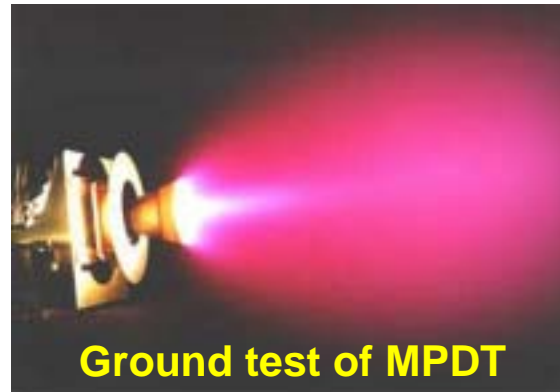
Image of MUSES-C ion engine



>>May 9, 2003

The **MUSES-C** (Hayabusa) spacecraft mounting **four ECR ion thrusters** was successfully launched. Asteroid sample return mission is now under progress.

(ref.) <http://www.isas.jaxa.jp/j/index.shtml>



Ground test of MPDT



>>March 18, 1995

The MPD thruster onboard the Space Flyer Unit (SFU) was successfully pulse-operated in space with few misfirings.



Outline

1. Introduction
2. Electric Propulsion
3. Mach Probe Experiment in the HITOP Device
4. Magnetic Nozzle Acceleration of MPDA Plasma
5. Summary

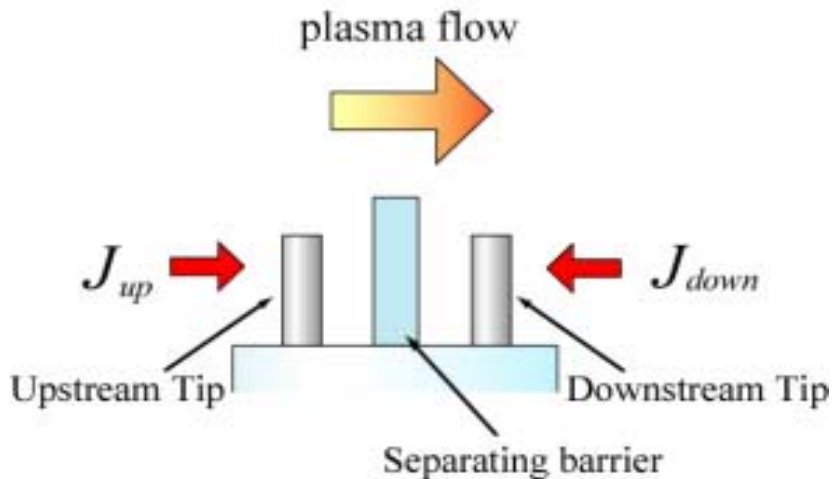


Plasma Flow Measurement

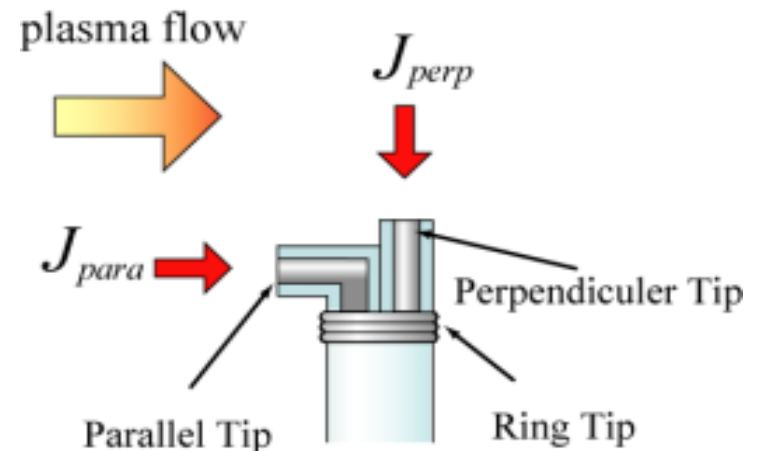
- Laser Induced Fluorescence (LIF)
- Visible-Light Spectroscopy (Doppler shift)
- Mach Probe 簡便で、空間分解能に優れる。

流れに対して異なった方向に捕集面を向け、そのイオン飽和電流値 j_{is} の信号値の違いから流速、イオンマッハ数 ($M_i = \text{流速} / \text{音速}$) を求める

(a) up-down タイプ



(b) perp-para タイプ



Theoretical Model of Mach Probe ~up-down~

< up-down タイプ >

Hudis and Ridsky model (1970) 非磁化プラズマ

最初にマッハプローブを提案

1次元のエネルギー保存より導出 $M_i \ll 1, T_i \ll T_e$

Stangeby model (1984) 磁化プラズマ

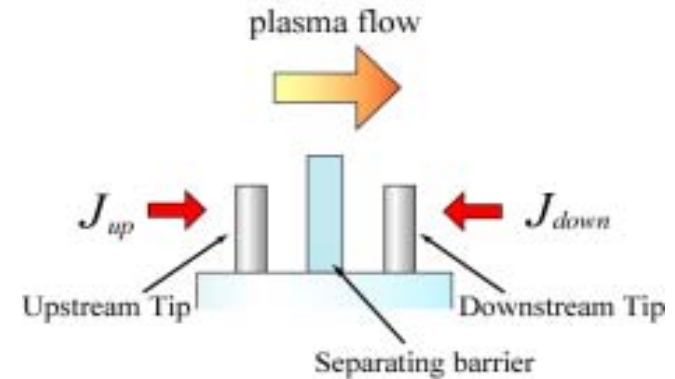
1-D fluid model, 粘性の効果は無視, $M_i < 1$

Hutchinson model (1987) 磁化プラズマ

1-D fluid model, 粘性による輸送効果を考慮, $M_i < 1$

Chung and Hutchinson (1988) 磁化プラズマ

1次元Kinetic model, 粘性の効果を検討



$\rho_i < r_p$: 磁化プラズマ

$\rho_i > r_p$: 非磁化プラズマ

M_c を決めるために...

LIFを用いた校正実験: Gunn(2001)

磁化プラズマ中で粘性を考慮したモデルとよい一致(実験は $M_i < 0.4$)

非磁化プラズマ中ではモデルが確立されていない!!

$$\frac{J_{up}}{J_{down}} = \exp\left(\frac{M_i}{M_c}\right) \quad M_c : \text{const.}$$



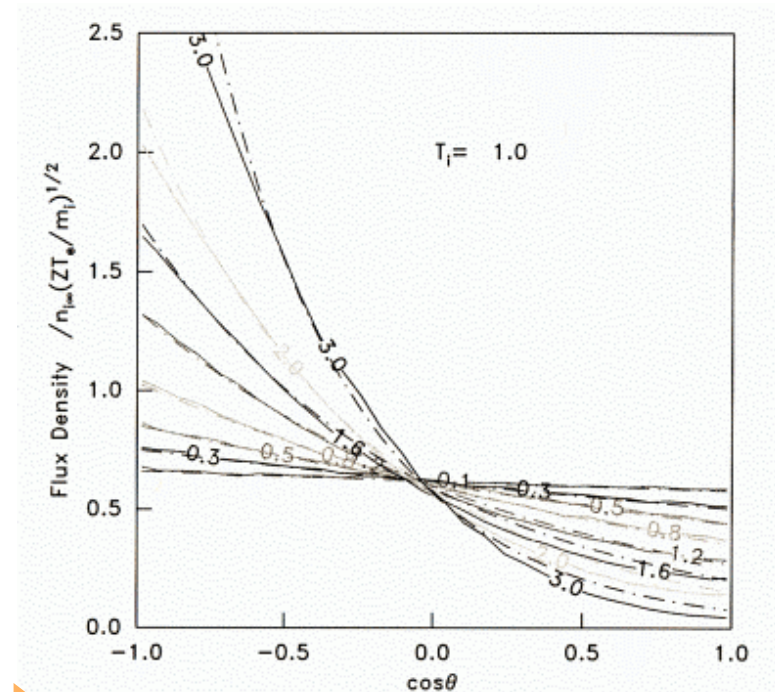
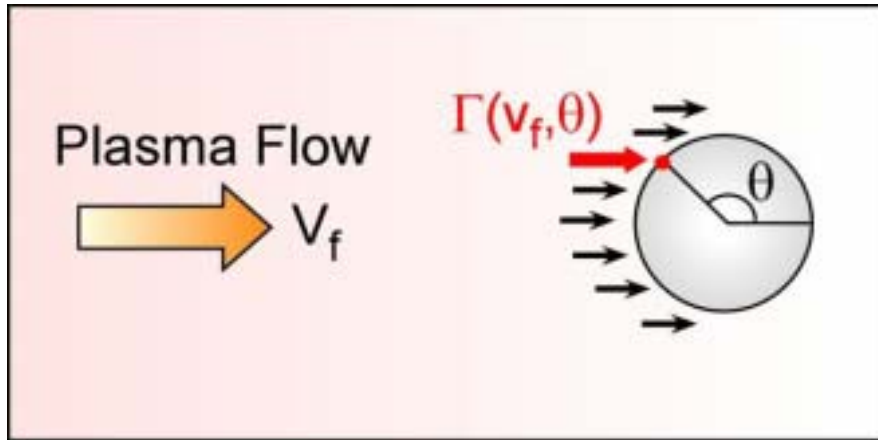
Hutchinson PIC Simulation

PICコードを用いて、**非磁化プラズマ中**に球プローブがある際、プラズマの流れ (v_f) に対してある角度(θ)をもった点に流れ込んでくるイオンフラックス $\Gamma(v_f, \theta)$ を計算.

シミュレーションより得られたモデル式

$$\frac{\Gamma(v_f, \pi)}{\Gamma(v_f, 0)} = \frac{J_{\text{up}}}{J_{\text{down}}} = \exp\left(\frac{M_i}{M_c}\right)$$

ただし $v_f : (T_e / m_i)^{1/2}$ で規格化
 $\Gamma(v_f, \theta) : n_i (T_e / m_i)^{1/2}$ で規格化



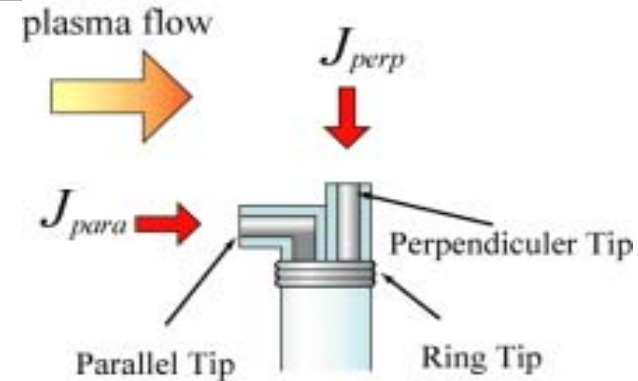
(example) イオンフラックスの $\cos\theta$ 依存 ($T_i / T_e = 1$);
 曲線上の数値はイオンのドリフト速度を表す

Theoretical Model of Mach Probe ~perp-para~

< perp-para タイプ >

通常のプローブの理論よりperp-tipのイオン飽和電流 J_{\perp} は,

$$J_{\perp} = \kappa en_i \sqrt{\frac{\gamma_e T_e + \gamma_i T_i}{m_i}} \quad (\kappa: T_i / T_e \text{ で決まる定数})$$



$M_i > 1$ では...

$$J_{\parallel} = en_i U \quad \text{Kuriki and Inutake (1974)}$$

$$\frac{J_{\parallel}}{J_{\perp}} = \frac{U}{\sqrt{\frac{\gamma_e T_e + \gamma_i T_i}{m_i}}} = \frac{M_i}{\kappa} \quad \dots (i)$$

他の計測方法と比較し, 比例定数を定める校正実験が必要!!

$M_i \ll 1$ では...

$$\frac{J_{\parallel}}{J_{\perp}} = \exp\left(\frac{M_i^2}{2}\right) \quad \dots (ii)$$

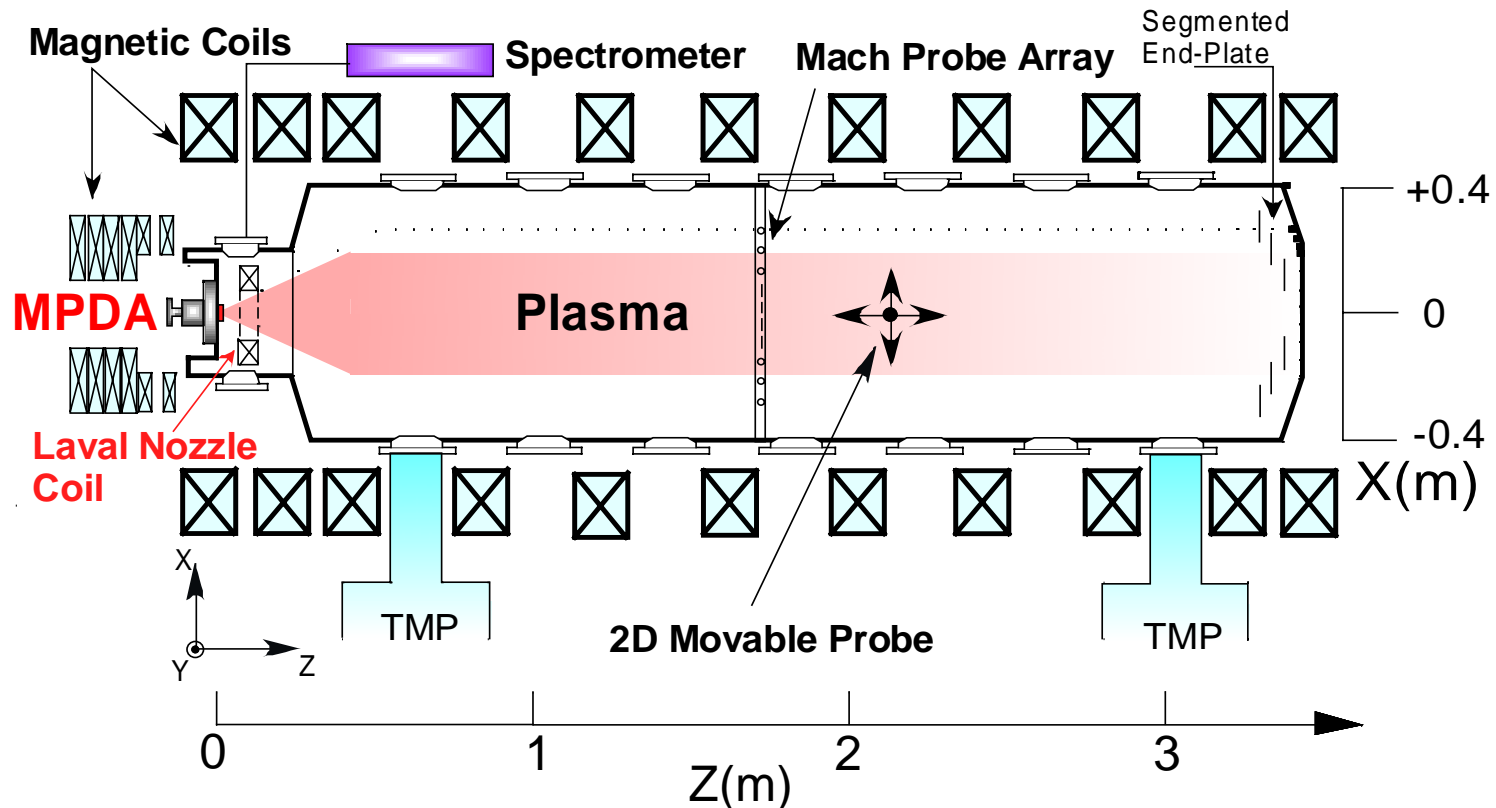
Stangeby and Allen(1971)

(i), (ii) が $M_i = 1$ でなめらかに接続するように下式のようにを導入

$$\frac{J_{\parallel}}{J_{\perp}} = \exp\left(\alpha \cdot M_i^{-1}\right) \quad (\alpha = -\ln \kappa)$$



HITOP(High density TOhoku Plasma) Device



Typical Parameters

Cylindrical chamber : length = 3.3 m, inner diameter = 0.8 m

Magnetic field : up to 0.1 T

Ion temperature : 20-40eV

Plasma density : $\sim 10^{15} \text{cm}^{-3}$ (near the MPDA)

Plasma source : MPD Arcjet

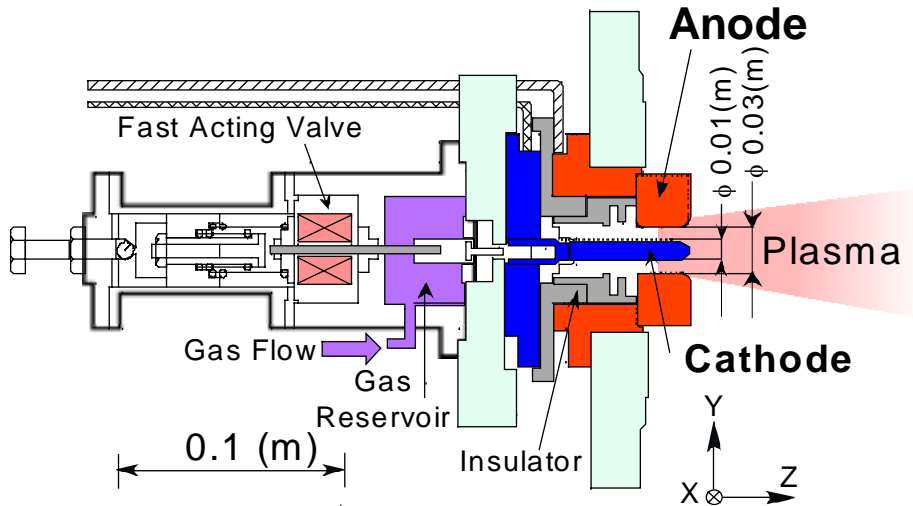
Electron temperature : 3-10 eV

Ionization degree : 50-90%



MPD(Magneto-Plasma-Dynamic) Arcjet

Cross Section of MPDA

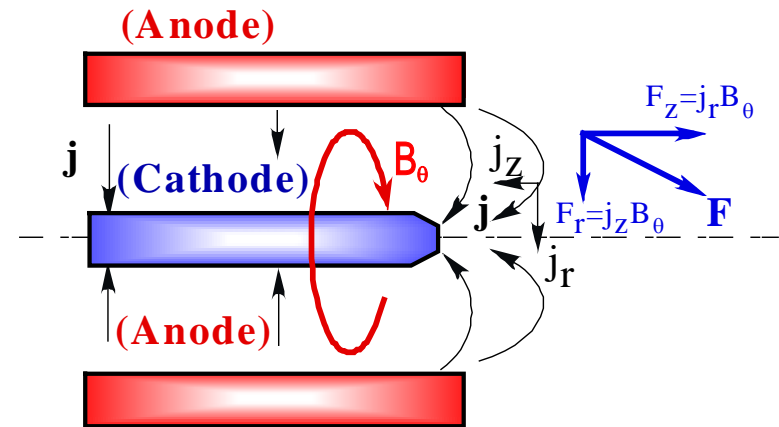


The MPDA has a coaxial structure with a center tungsten rod cathode and an annular molybdenum anode.

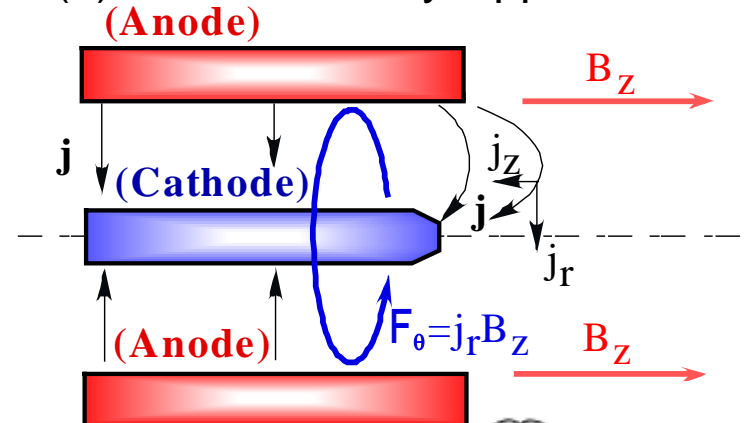
By use of a fast-acting gas-puff valve, a **quasi-steady** (~1 msec), high-density (up to 10^{15}cm^{-3} near the MPD outlet), highly-ionized plasma is produced.

Principle of Plasma Acceleration

(a) Self-Field Acceleration

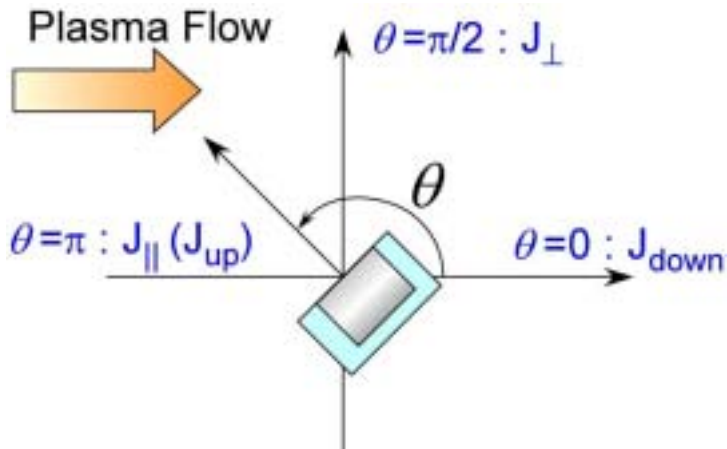
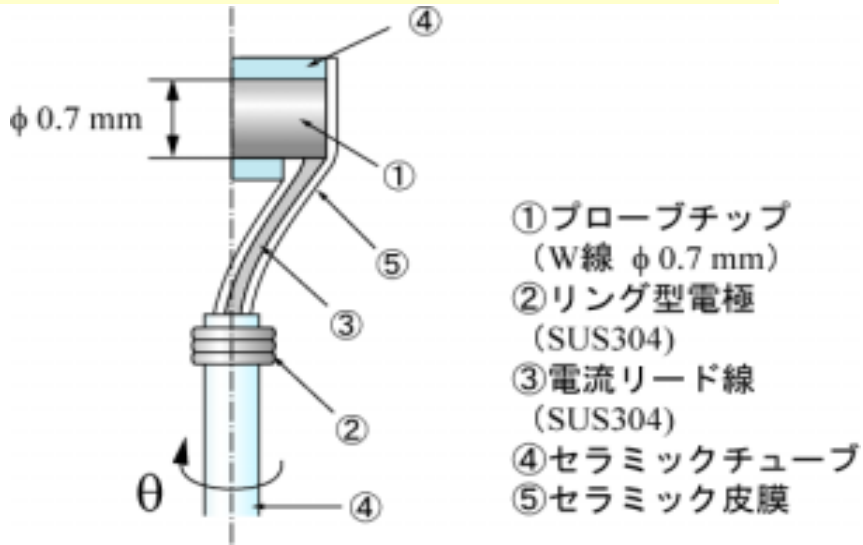


(b) With Externally-Applied Field

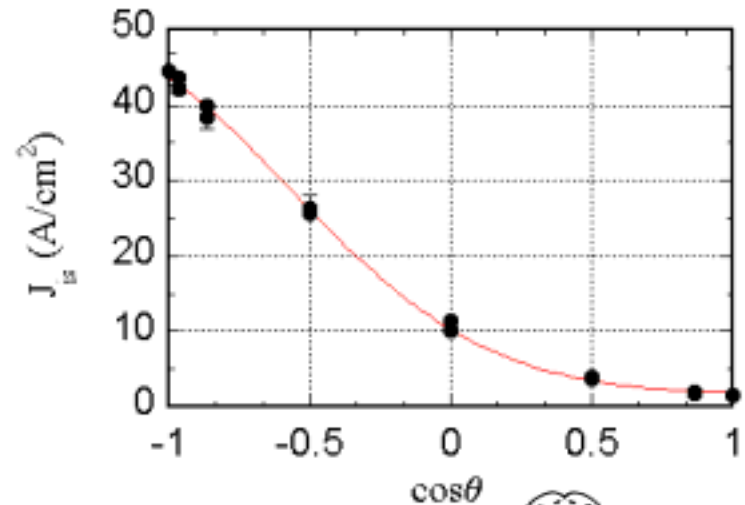
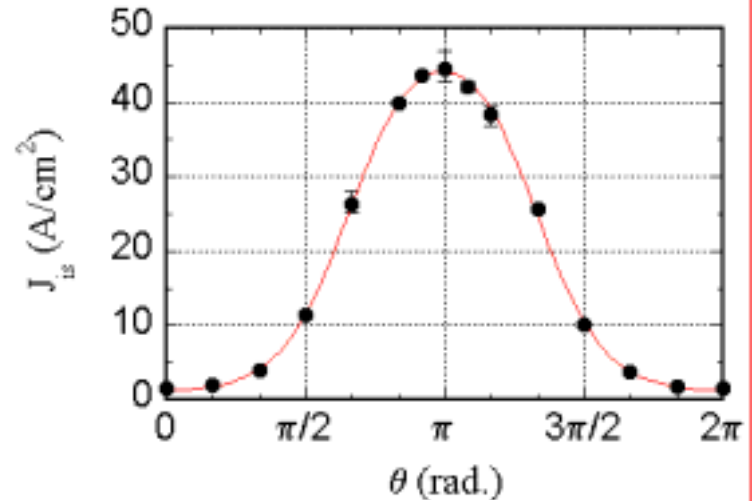


Hutchinsonモデルの検証実験

Directional Langmuir probe (DLP)



Ion saturation current distribution as a function of θ ($\cos \theta$)



Hutchinsonモデルの検証実験

Hutchinsonモデルとの比較

<MPDプラズマ>

- $r_p < \rho_i$ (非磁化プラズマ)
- $1.5 < T_i / T_e < 3$

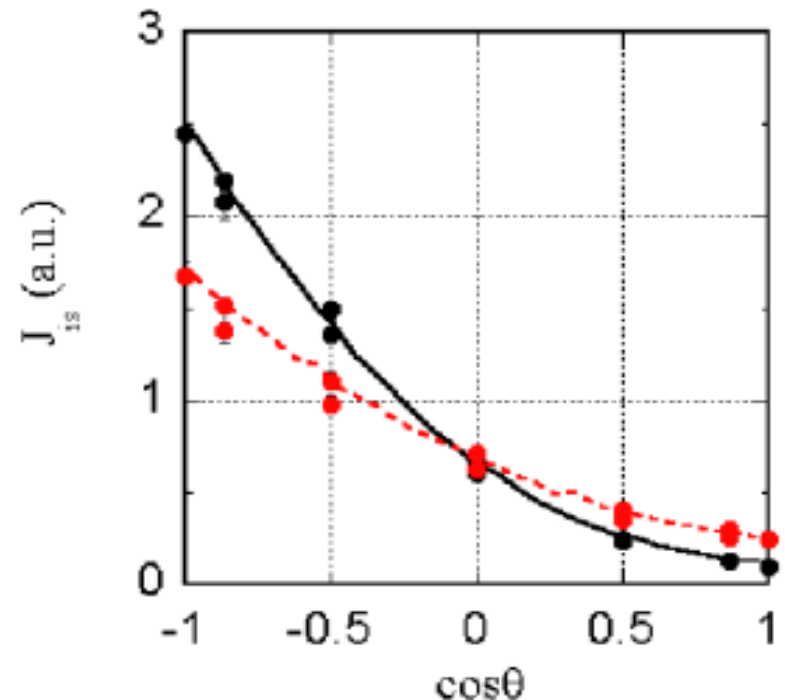


実験値と Hutchinson シミュレーション
($T_i / T_e = 2$ の場合)を比較

実験条件

- (a) $M_i = 1.3$ ($U = 28\text{km/s}$, $T_i = 8.6\text{eV}$, $T_e = 5.3\text{eV}$)
- (b) $M_i = 0.8$ ($U = 19\text{km/s}$, $T_i = 11\text{eV}$, $T_e = 6.2\text{eV}$)

実験値 (HITOP)	Hutchinson simulation ($T_i / T_e = 2$)
● $M_i = 1.3$	— $M_i = 1.2$ ($v_f = 2.5$)
● $M_i = 0.80$	----- $M_i = 0.77$ ($v_f = 1.6$)



➡ Good agreement !!

$\cos\theta = -1$ での値で規格化

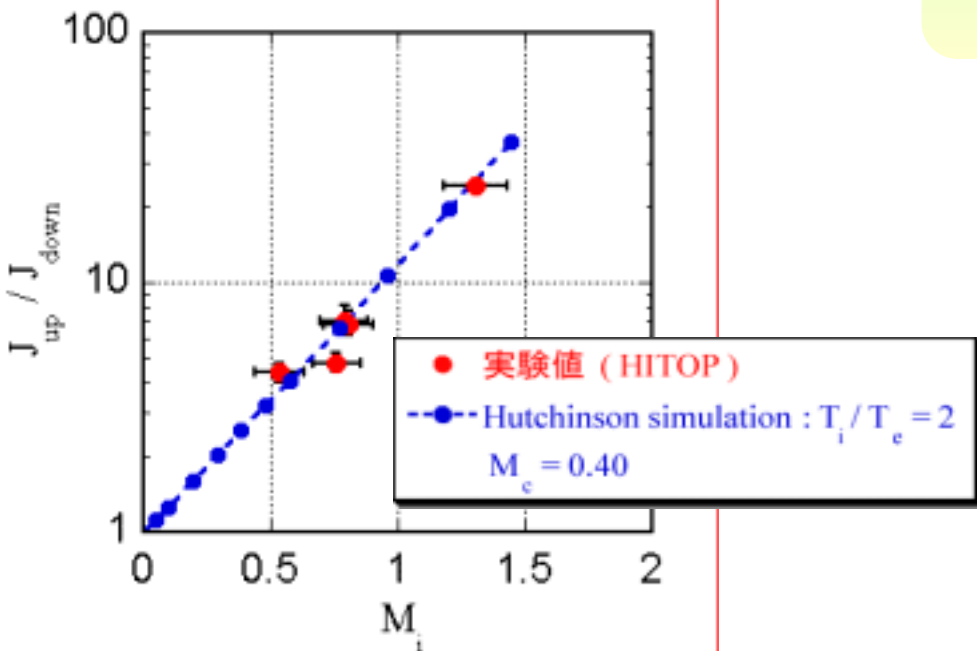


Mach Probe Calibration ~分光計測による校正~

up - down タイプ



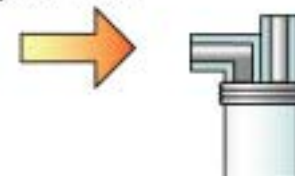
$$\frac{J_{\text{up}}}{J_{\text{down}}} = \exp\left(\frac{M_i}{M_c}\right)$$



$M_c = 0.40$

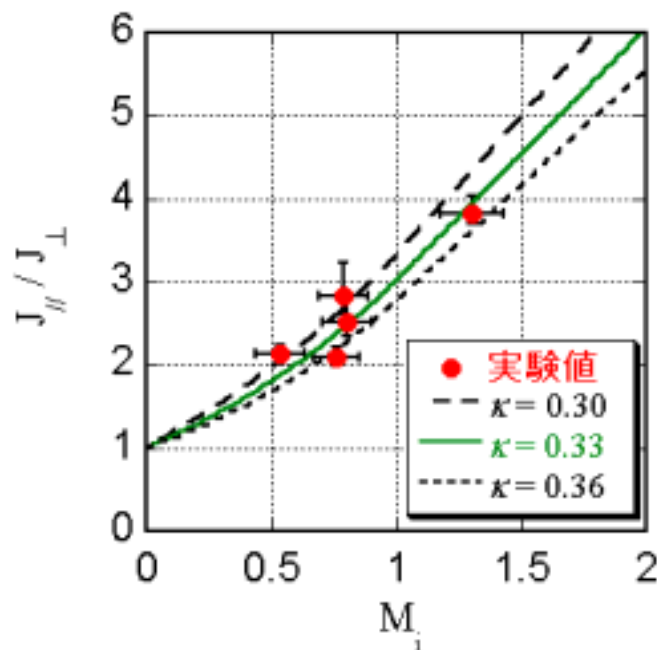
perp - para タイプ

plasma flow



超音速流 ($M_i > 1$) : $\frac{J_{\parallel}}{J_{\perp}} = M_i$

亜音速流 ($M_i < 1$) : $\frac{J_{\parallel}}{J_{\perp}} = \exp\left(\frac{M_i}{\kappa}\right) \left(= \frac{1}{\ln} \right)$



$\kappa = 0.33$



up - down タイプ



perp - para タイプ

$$M_i = M_c \cdot \ln\left(\frac{J_{\text{up}}}{J_{\text{down}}}\right)$$

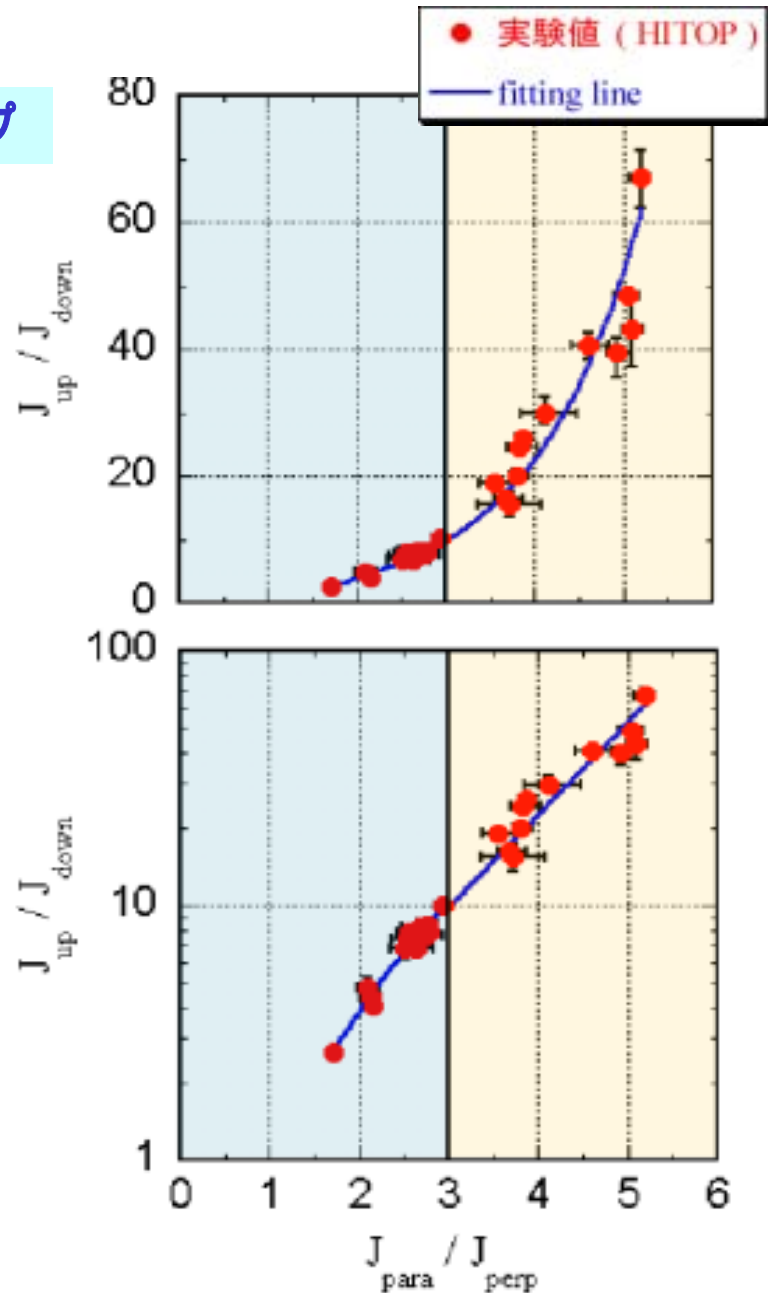
$$(M_i > 1) \quad M_i = \frac{J_{\parallel}}{J_{\perp}}$$

$$(M_i < 1) \quad M_i = \frac{1}{\left[\ln\left(\frac{J_{\parallel}}{J_{\perp}}\right) \right]} \quad (= -\ln)$$



$$M_i > 1 \quad \frac{J_{\parallel}}{J_{\perp}} \propto \ln\left(\frac{J_{\text{up}}}{J_{\text{down}}}\right)$$

$$M_i < 1 \quad \ln\left(\frac{J_{\text{up}}}{J_{\text{down}}}\right) \propto \left[\ln\left(\frac{J_{\parallel}}{J_{\perp}}\right) \right] \quad (\kappa = 0.33 \quad (\alpha = 1.1))$$

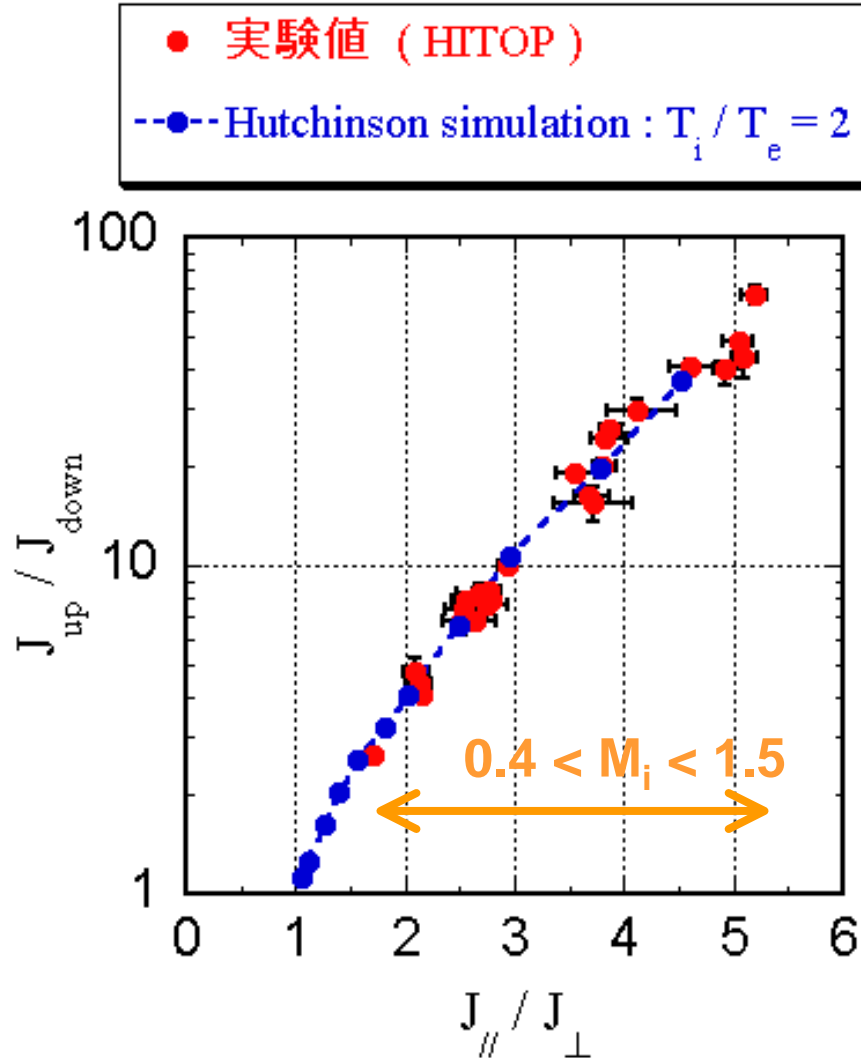


up - down タイプ



perp - para タイプ

Comparison between exp. and PIC simulation



DLPによる計測結果

PIC シミュレーションによる結果



$0.4 < M_i < 1.5$ の広い範囲で
良い一致を示した



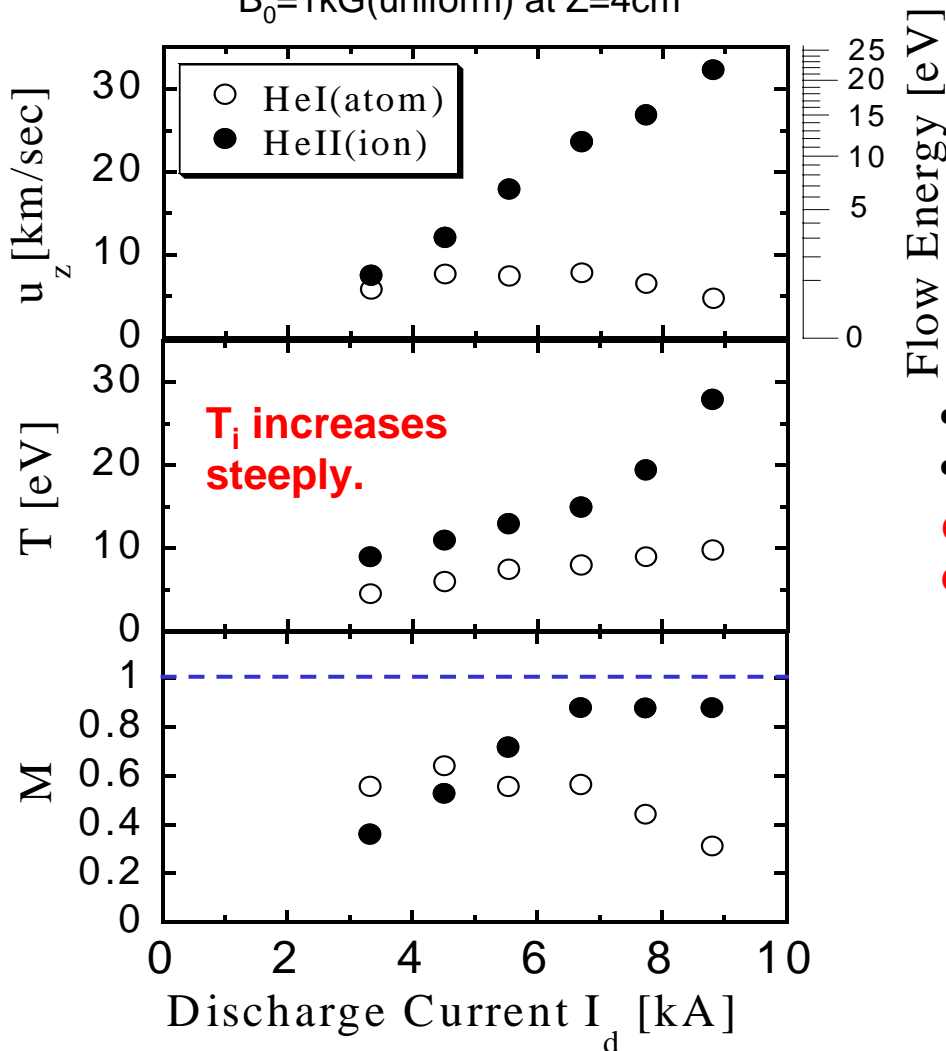
Outline

1. Introduction
2. Electric Propulsion
3. Mach Probe Experiment in the HITOP Device
4. Magnetic Nozzle Acceleration of MPDA Plasma
5. Summary



Anomalous ion heating in the MPDA Plasma

$I_d = 8.6 \text{ kA}$, $dm/dt = 0.06 \text{ g/s (He)}$,
 $B_0 = 1 \text{ kG (uniform)}$ at $Z = 4 \text{ cm}$



$$M_i = \frac{u}{C_s} = \sqrt{\frac{m_i u^2 / 2}{k_B (\gamma_i T_i + \gamma_e T_e) / 2}} < 1$$

i.e. Thermal energy > Flow energy

- ⌚ Why is the Mach number limited?
- ⌚ What is the mechanism of the conversion the input energy to the thermal energy?

Detailed measurement of

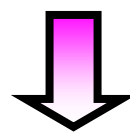
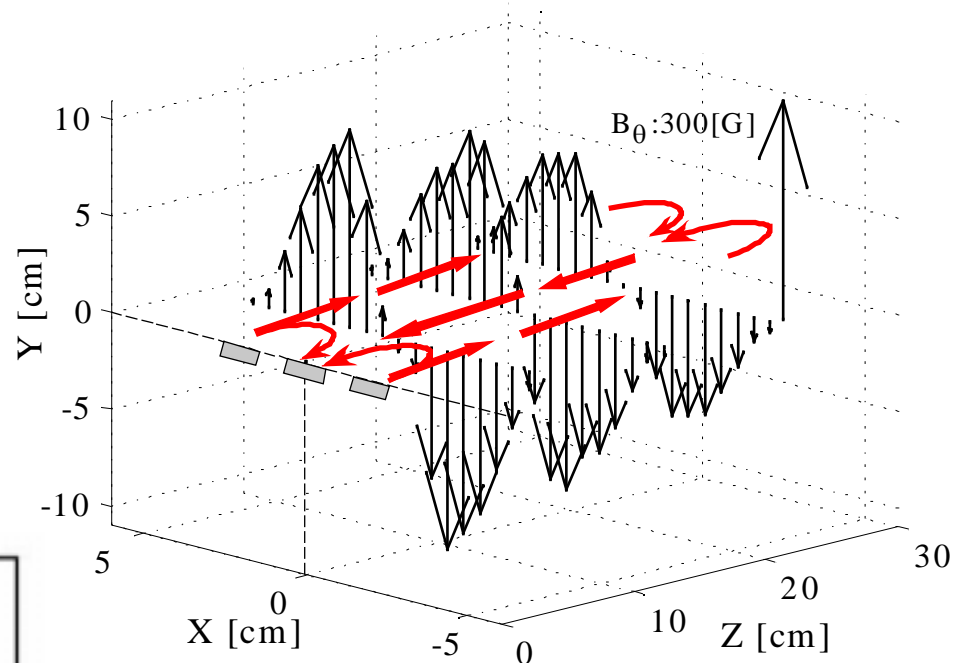
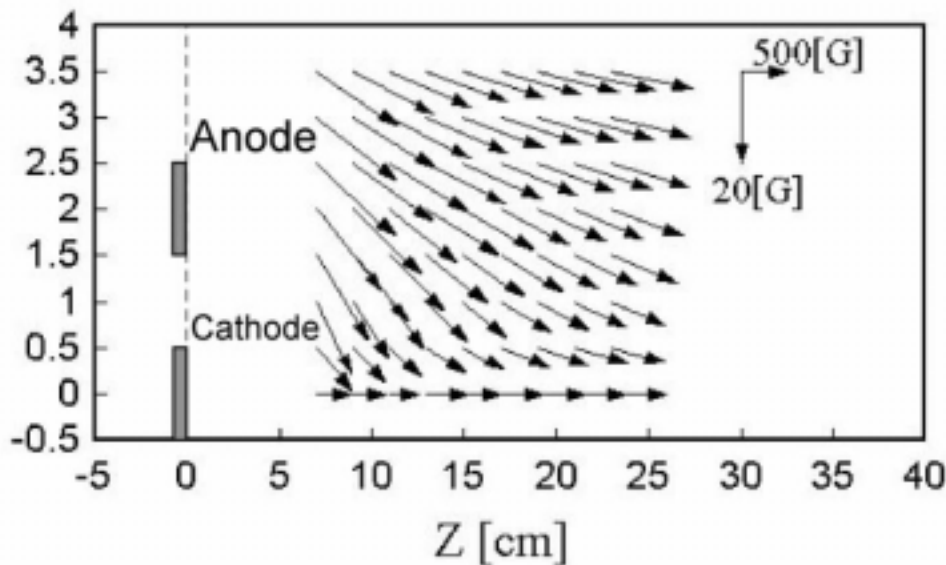
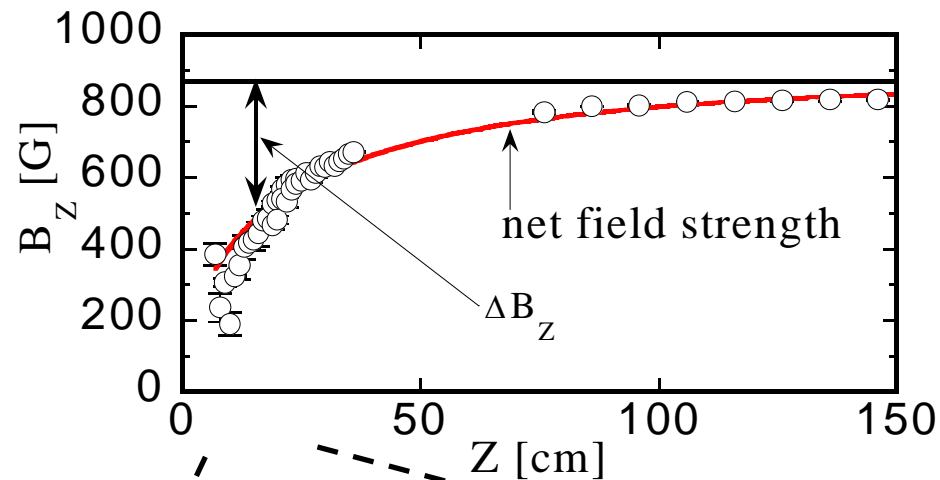
- $\mathbf{j} \times \mathbf{B}$ force field
- flow field



Spatial Distribution of $j \times B$ Force

Magnetic Field distribution in the Vicinity of MPDA

$I_d=7.2\text{kA}$, $V_d=200\text{V}$, $dm/dt=0.1\text{g/s(He)}$,
 $B_0=870\text{G(uniform)}$



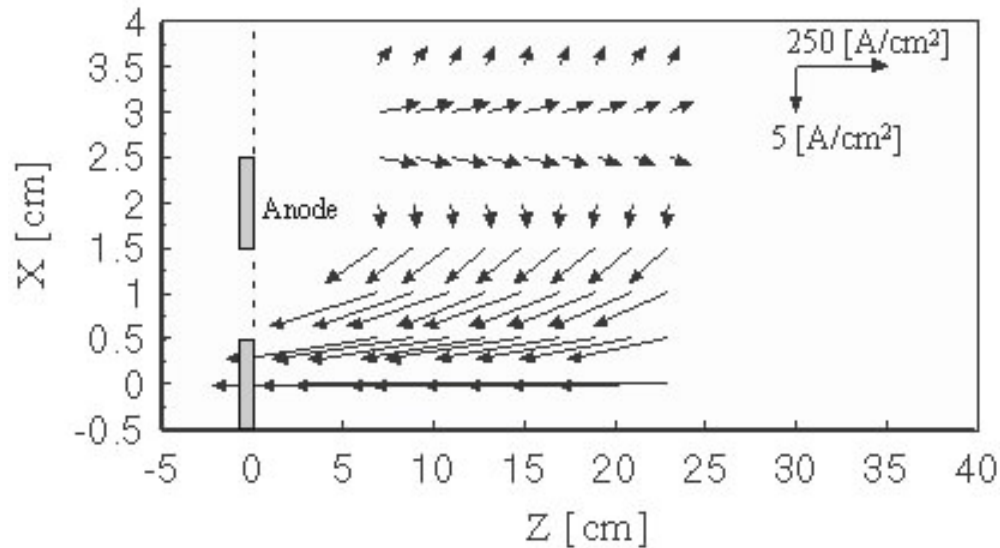
deformation of magnetic field

Spontaneous formation a helically-converging magnetic nozzle in the vicinity of MPDA outlet.

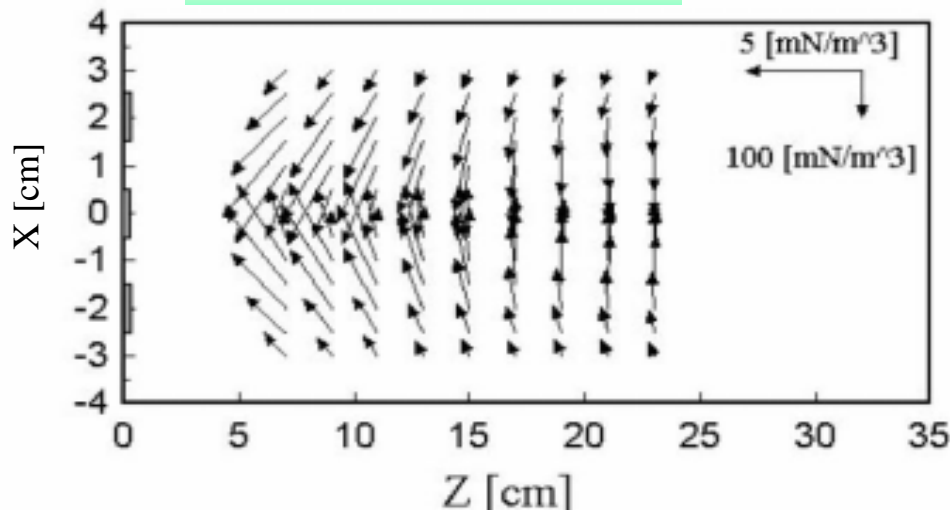


Spatial Distribution of $j \times B$ Force

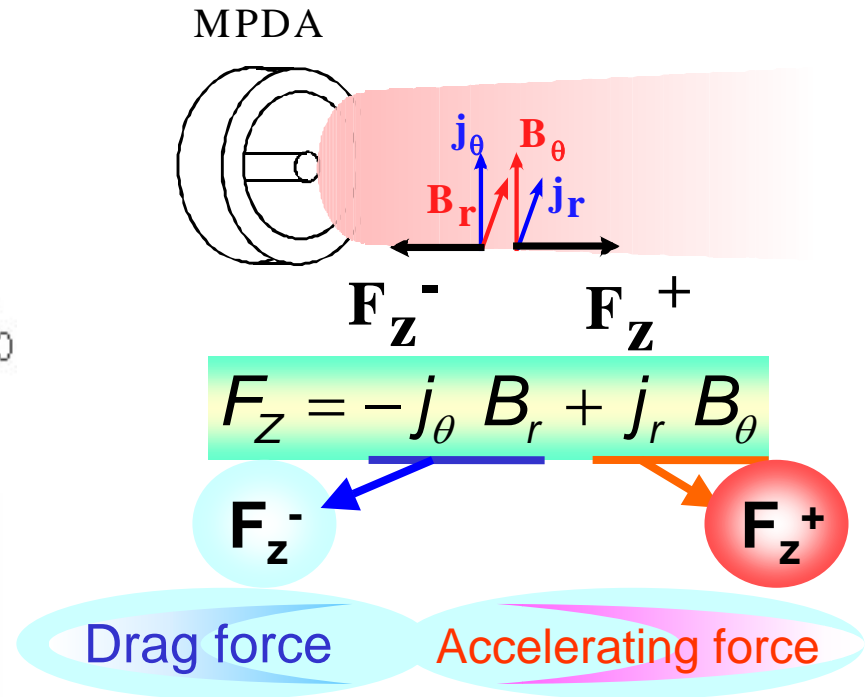
Plasma Current Distribution



$j \times B$ Force Distribution



Schematic of the drag force generation



Energy Balance in the MPDA Plasma Flow

Generalized Bernoulli's Equation Related to the Applied-Field Acceleration**

$$\frac{1}{2}(u_z^2 + u_\theta^2) + \frac{\gamma}{\gamma - 1} \frac{P}{\rho} + \frac{B_\theta^2}{\mu_0 \rho} - \frac{B_\theta B_z u_\theta}{\mu_0 \rho u_z} = \text{const.}$$

Flow energy
~10⁸

Self-field energy
~10⁷

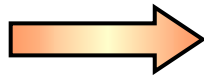
Thermal energy
~10⁹

Additional energy
~10⁷

Thermal > Flow. $T_i / T_e \sim 2$ Why?

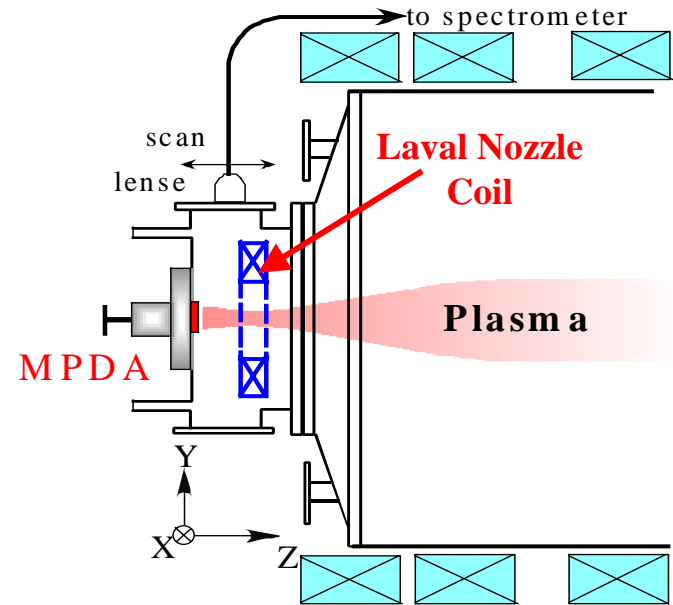
Magnetic nozzle

Thermal energy



Flow energy

Momentum Conversion

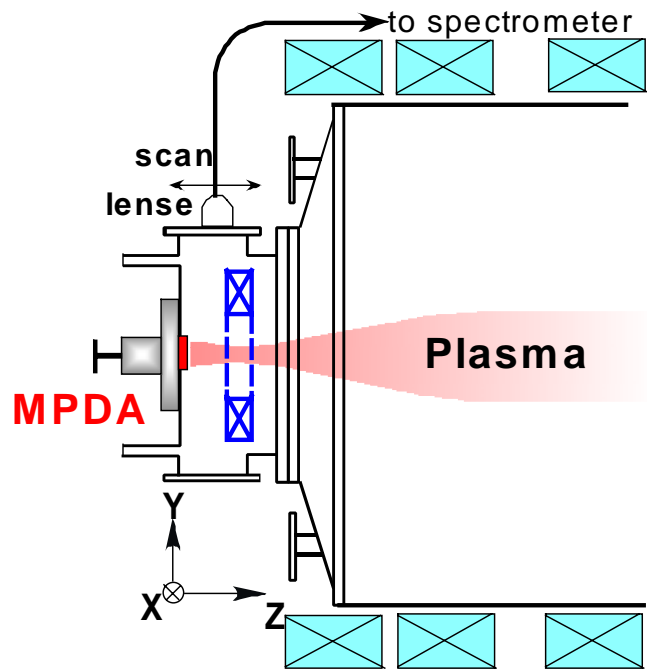


	$M_i < 1$	$M_i > 1$		
A				
M				
U				
T				
ρ				

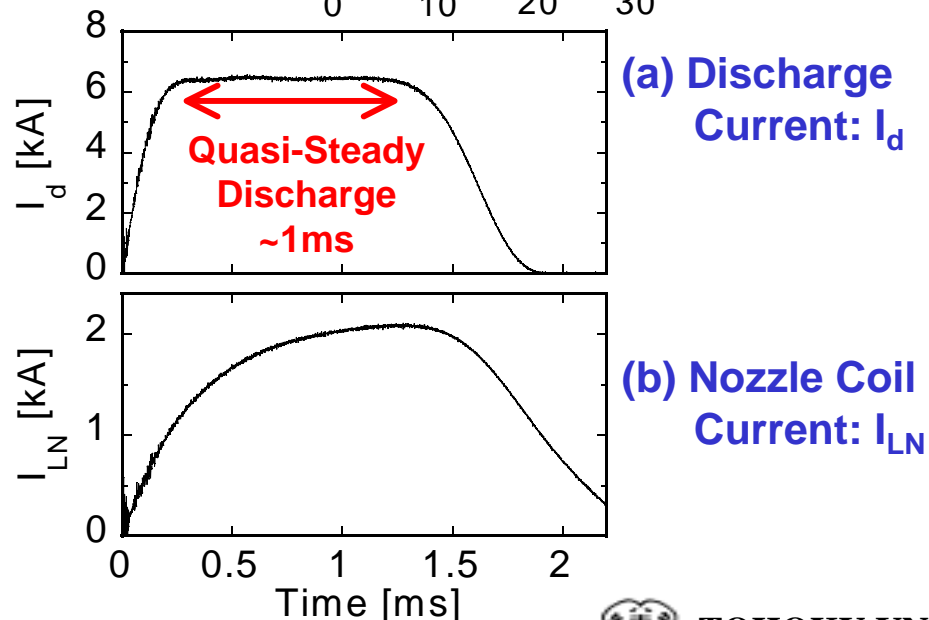
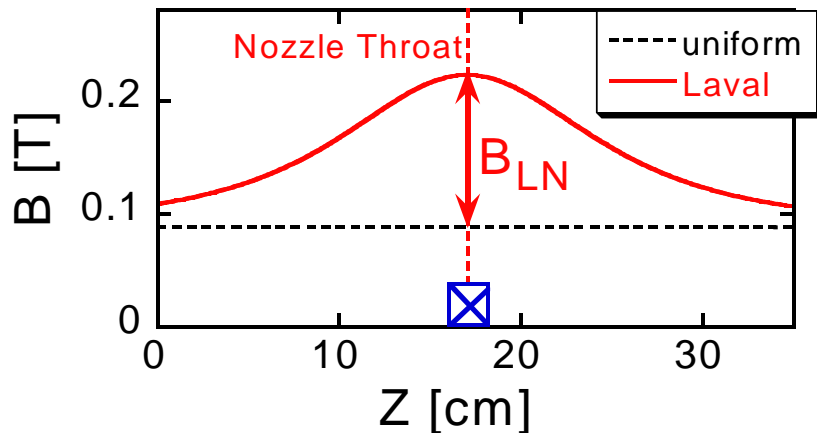
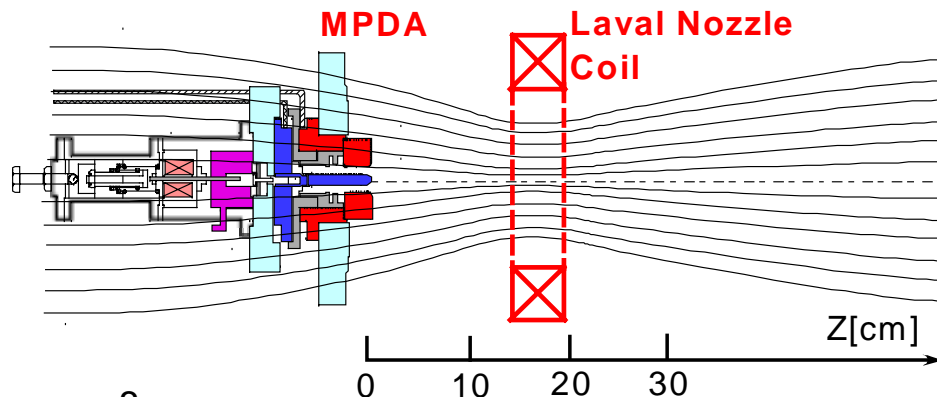
** K.F. Schoenberg *et al.* ; Phys of Plasmas, **5**, p.2090 (1998)



Magnetic Laval Nozzle Formation



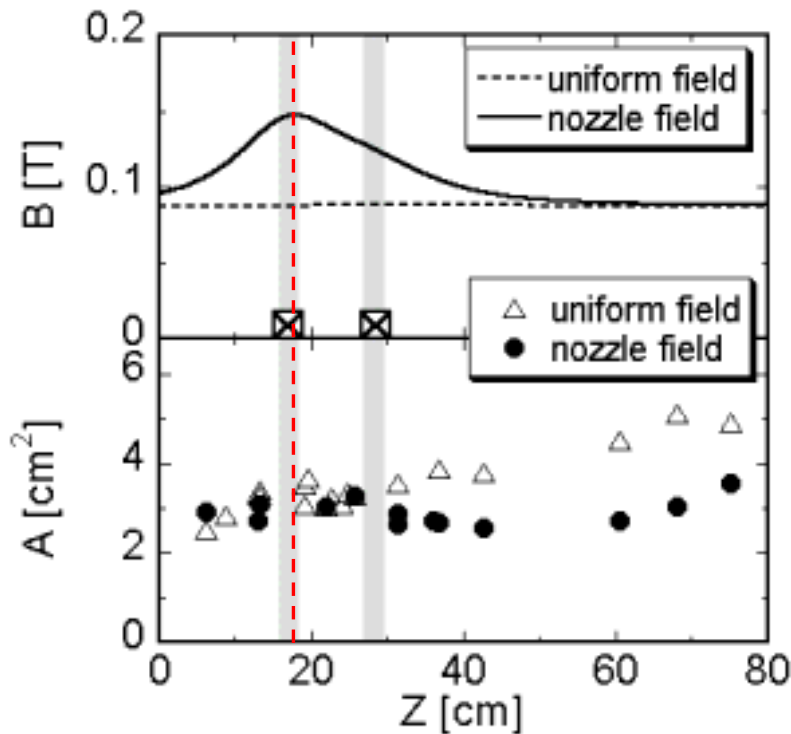
Magnetic Field Line Profile in Vacuum



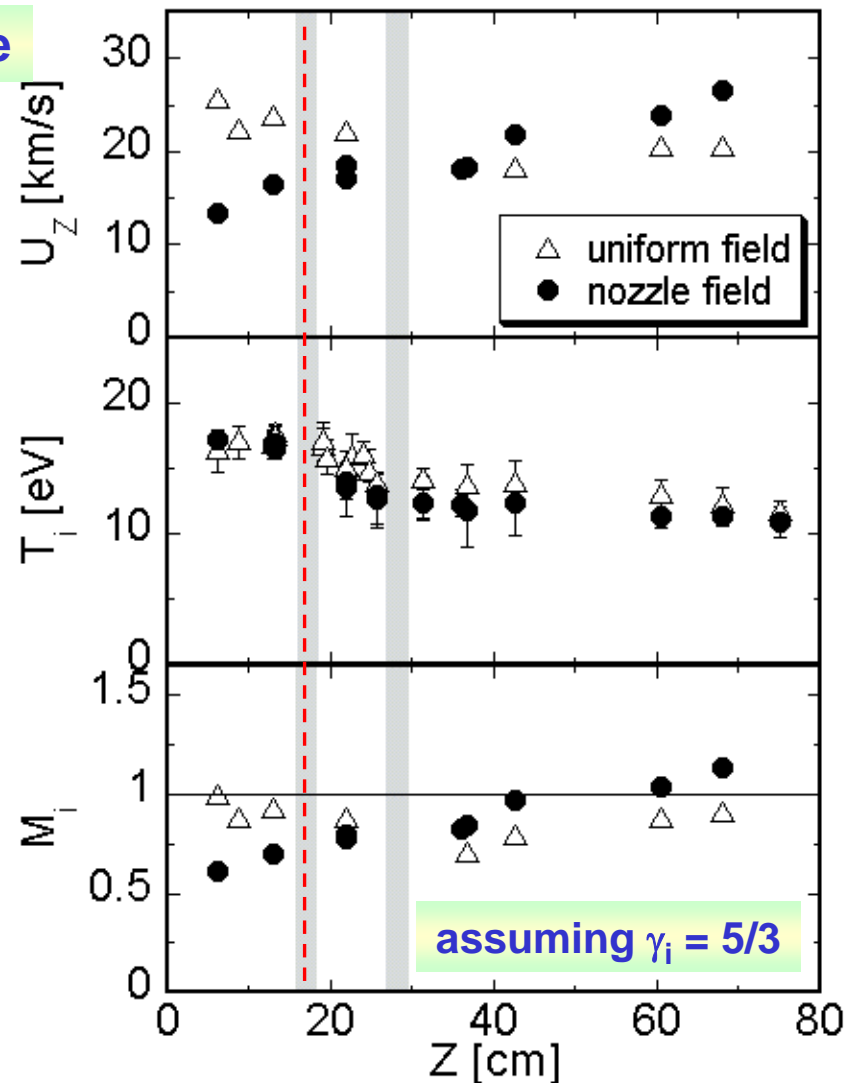
Characteristics in Magnetic Laval Nozzle

Improvement of Acceleration Performance

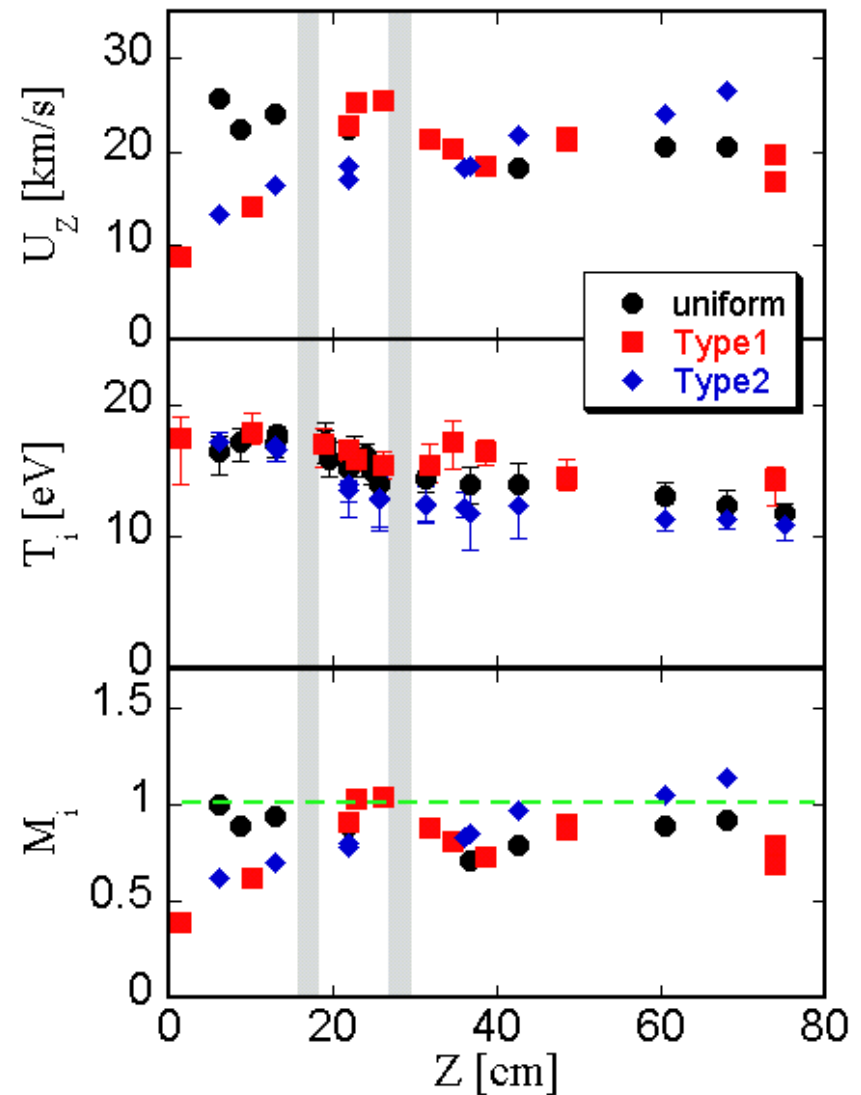
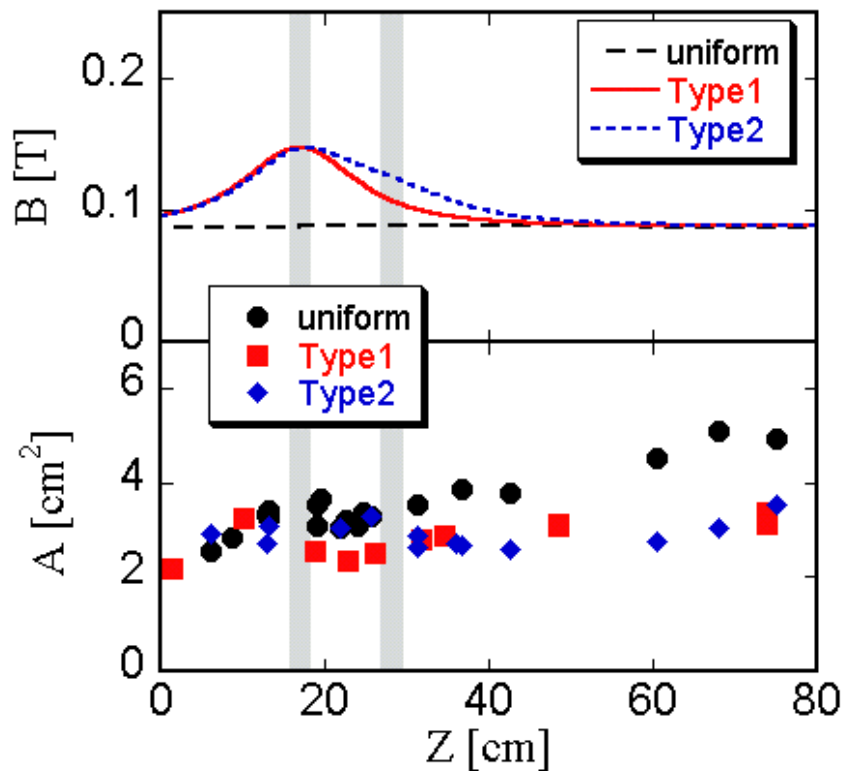
$I_d = 7.2\text{kA}$, $dm/dt = 0.1\text{g/s}$ (He),
Nozzle Throat at $Z=17\text{cm}$.



The thermal energy is converted to the flow energy by passing through the Laval nozzle and a supersonic plasma flow is achieved.

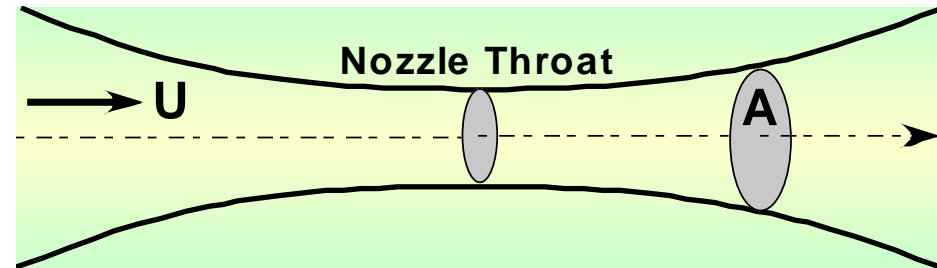


Various Behavior in the Laval Nozzle



1-D Isentropic Flow Model

The MPD plasma flow is modeled by a one-dimensional adiabatic flow with a constant entropy at any cross section along a flux tube.



$$\frac{dM}{M} = \frac{2 + (\gamma - 1)M^2}{2(M^2 - 1)} \frac{dA}{A}$$

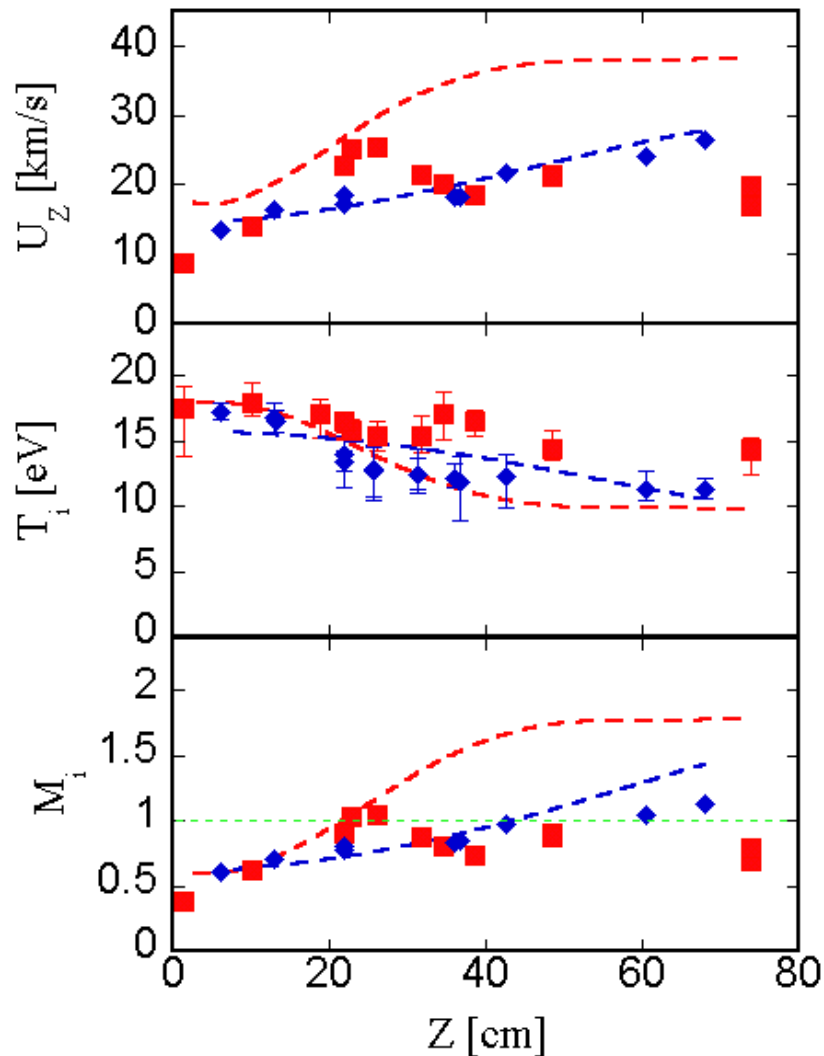
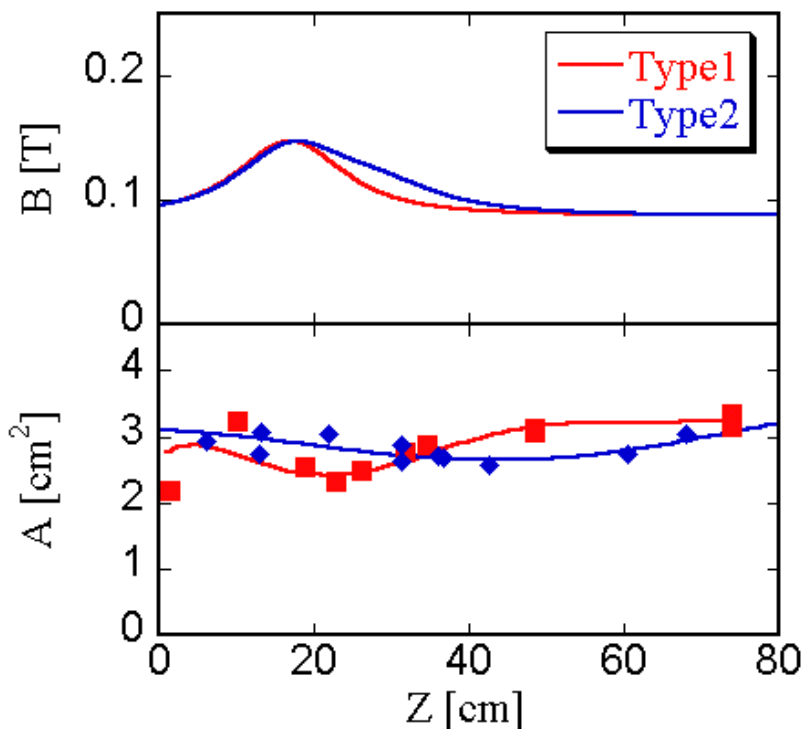
$$\frac{dU}{U} = \frac{1}{M^2 - 1} \frac{dA}{A}$$

$$\frac{dT}{T} = \frac{(\gamma - 1)M^2}{M^2 - 1} \frac{dA}{A}$$

$$\frac{d\rho}{\rho} = \frac{M^2}{M^2 - 1} \frac{dA}{A}$$

	$M_i < 1$		$M_i > 1$	
A				
M				
U				
T				
ρ				

Comparison with 1-D Isentropic Flow Model



Summary

東北大学におけるMPDアークジェットを用いた高ベータ・高速プラズマ流の生成と制御に関する最近の研究結果を紹介した。

- DLPを用いたマッハプローブの較正実験
- MPDアークジェットプラズマ中の電磁場計測
- 磁気ラバールノズルによるプラズマ加速



高ベータ・高速プラズマ流の制御

アドバンスド核融合, 宇宙ジェットの構造解明
および電気推進機開発への貢献

